

## ОБ ОПРЕДЕЛЕНИИ ВНУТРЕННЕЙ ГРАНИЦЫ ОБЛАСТИ В ДВУМЕРНОЙ НАЧАЛЬНО-КРАЕВОЙ ЗАДАЧЕ ДЛЯ УРАВНЕНИЯ ТЕПЛОПРОВОДНОСТИ\*

### 1. Постановка задачи

Рассмотрим следующую задачу для уравнения теплопроводности:

$$\begin{cases} \frac{\partial P}{\partial t} = \Delta P, P = P(t, M), M(x, y) \in D \subset \mathbf{R}^2, t > 0, \bar{D} = D \cup \Gamma_1 \cup \Gamma_2 \\ \frac{\partial P}{\partial \bar{n}_1} \Big|_{M \in \Gamma_1} = 0, \quad \frac{\partial P}{\partial \bar{n}_2} \Big|_{M \in \Gamma_2} = f(t)q(M), \quad t \geq 0, \\ P(0, M) = P_0, \quad M \in \bar{D}, \end{cases} \quad (1)$$

где  $D$  – односвязная область с гладкими внутренней границей  $\Gamma_1$  и внешней границей  $\Gamma_2$ ,  $\bar{n}_1$  и  $\bar{n}_2$  – единичные векторы внешних нормалей к  $\Gamma_1$  и  $\Gamma_2$ , соответственно,  $P_0$  – фиксированное число.

Обратная задача заключается в определении контура  $\Gamma_1$  при известных  $\Gamma_2$ ,  $f(t)$ ,  $q(M)$  и  $P_0$  по решению прямой задачи (1)  $P(t, M)$ , заданному в некоторых точках  $M_1, \dots, M_n \in D$  и при всех  $t \geq 0$ .

### 2. Численное решение прямой задачи

После замены  $u(t, M) = P(t, M) - P_0$  и применения преобразования

Лапласа  $v(p, M) = \int_0^{+\infty} e^{-pt} u(t, M) dt$ ,  $F(p) = \int_0^{+\infty} e^{-pt} f(t) dt$ , для новой неизвестной функции  $v(t, M)$  получаем следующую задачу:

$$\begin{cases} \Delta v - pv = 0, M \in \bar{D}, \operatorname{Re} p > 0, \\ \frac{\partial v}{\partial \bar{n}_1} \Big|_{M \in \Gamma_1} = 0, \quad \frac{\partial v}{\partial \bar{n}_2} \Big|_{M \in \Gamma_2} = F(p)q(M), \quad \operatorname{Re} p > 0, \end{cases} \quad (2)$$

решение которой при  $p = s^2 > 0$  единственно и равно потенциалу простого слоя

\* Работа выполнена при поддержке РФФИ, код проекта 08-01-00314.

$$v(s, M) = \int_{\Gamma_1} K_0(s | \overline{MN} |) \mu(N) dl_N + \int_{\Gamma_2} K_0(s | \overline{ML} |) \eta(L) dl_L, \quad (3)$$

с непрерывными плотностями  $\mu$  и  $\eta$ , являющимися решениями системы

$$\begin{cases} \pi\mu(N) + \int_{\Gamma_1} \frac{\partial K_0(s | \overline{NQ} |)}{\partial \bar{n}_N} \mu(Q) dl_Q + \int_{\Gamma_2} \frac{\partial K_0(s | \overline{NR} |)}{\partial \bar{n}_N} \eta(R) dl_R = 0, \\ \pi\eta(L) + \int_{\Gamma_2} \frac{\partial K_0(s | \overline{LR} |)}{\partial \bar{n}_L} \eta(R) dl_R + \int_{\Gamma_1} \frac{\partial K_0(s | \overline{LQ} |)}{\partial \bar{n}_L} \mu(Q) dl_Q = F(s^2)q(L), \end{cases} \quad (4)$$

где  $N \in \Gamma_1$ ,  $L \in \Gamma_2$ ,  $K_0(z)$  — функция Макдональда нулевого порядка, а выражения  $|\overline{MN}|$ ,  $|\overline{ML}|$  и т.д. обозначают длины соответствующих отрезков.

Будем считать, что начало координат находится внутри контура  $\Gamma_1$ , и что  $\Gamma_1$  и  $\Gamma_2$  ограничивают звездные области, т.е. полярные координаты точек  $\Gamma_1$  и  $\Gamma_2$  имеют вид  $(h(\varphi), \varphi)$  и  $(g(\beta), \beta)$ , соответственно, где  $h(0) = h(2\pi)$ ,  $g(0) = g(2\pi)$ ,  $h(\varphi), g(\beta) \in C^1[0; 2\pi]$ . В этом случае, при переходе в уравнениях (3) и (4) к полярным координатам, нормали и длины элементов границ пересчитываются в терминах  $h(\varphi)$  и  $g(\beta)$ , например

$$dl_N = \sqrt{h^2(\varphi) + (h'(\varphi))^2} d\varphi, \\ \bar{n}_N = -\frac{(h'(\varphi) \sin \varphi + h(\varphi) \cos \varphi, h(\varphi) \sin \varphi - h'(\varphi) \cos \varphi)}{\sqrt{h^2(\varphi) + (h'(\varphi))^2}}.$$

Решение прямой задачи сводится, таким образом, к вычислению из системы (4) функций  $\mu[h(\varphi), \varphi]$  и  $\eta[g(\beta), \beta]$  по известным функциям  $h(\varphi)$ ,  $g(\beta)$ ,  $F(s^2)$  и  $q[g(\beta), \beta]$ .

Численный алгоритм решения (4) был реализован в рамках стандартных вычислительных методов, основанных на сведении системы интегральных уравнений к линейной системе в пространстве  $\mathbf{R}^n$  с коэффициентами из  $\mathbf{R}^{n \times n}$ .

Для проверки построенного численного алгоритма задача (2) была решена аналитически для области  $D$ , являвшейся кольцом с центром в начале координат, с краевым условием на внешней границе, приблизительно соответствовавшим важному для практических задач случаю сосредоточенного в точке потока. Точная постановка модельной задачи приведена в пункте 4. Аналитическое решение данной модельной задачи с высокой точностью совпало с решением, вычисленным с помощью системы (4) и формулы (3).



$$W[h(\varphi), h(\psi)] = s \frac{h(\psi)[h(\varphi) - h(\psi)\cos(\psi - \varphi)]}{\sqrt{h^2(\varphi) + h^2(\psi) - 2h(\varphi)h(\psi)\cos(\varphi - \psi)}} \times \\ \times K_1 \left( s \sqrt{h^2(\varphi) + h^2(\psi) - 2h(\varphi)h(\psi)\cos(\varphi - \psi)} \right).$$

Отметим, что функция  $\eta[g(\beta), \beta]$ , являясь решением системы (7), неявно зависит также и от функции  $h$ .

Таким образом, обратная задача сводится к восстановлению функции  $h(\varphi)$  по известным функциям  $v(s, r, \alpha)$ ,  $g(\beta)$ ,  $q[g(\beta), \beta]$  и  $F(s^2)$  из уравнения (6) и системы (7).

Функция  $h(\varphi)$  вычисляется из уравнения (6) с помощью некоторой итерационной процедуры, причем на каждом  $j$ -том шаге вместо уравнения (6) решается приведенное ниже уравнение (8) – линеаризация (6) в окрестности функции  $h_{j-1}$ , полученной на предыдущем шаге:

$$v(s, r, \alpha, ) = A[\mu_{j-1}, h_{j-1}] + B(\mu_{j-1}, h_{j-1}, \mu'_{j-1}, \eta'_{j-1})[\omega_j] + G[\eta_{j-1}, g], \quad (8)$$

где оператор  $B(\mu, h, \mu', \eta')$ , вид которого приведен в Приложении, является дифференциалом правой части (6) по  $h$ ,  $\omega_j = h_j - h_{j-1}$ , а  $\mu_{j-1}$  и  $\eta_{j-1}$  вычисляются из (7) при  $h = h_{j-1}$ . Функции  $\mu'_{j-1}$  и  $\eta'_{j-1}$  при выполнении условия (5) приближенно в виде  $\mu'_{j-1}(\varphi)\omega_j(\varphi)$  и  $\eta'_{j-1}(\varphi)\omega_j(\varphi)$  задают в точке  $h_{j-1}$  дифференциалы отображений  $h \rightarrow \mu$  и  $h \rightarrow \eta$ , определяемых системой (7), и являются решениями системы

$$\left\{ \begin{array}{l} \pi\mu'_{j-1}(\varphi) + \int_0^{2\pi} W[h_{j-1}(\varphi), h_{j-1}(\psi)]\mu'_{j-1}(\psi)d\psi + \\ + \int_0^{2\pi} W'_h[h_{j-1}(\varphi), h_{j-1}(\psi)]\mu_{j-1}(\psi)d\psi + \int_0^{2\pi} W'_h[h_{j-1}(\varphi), g(\gamma)]\eta_{j-1}(\gamma)d\gamma + \\ + \int_0^{2\pi} W[h_{j-1}(\varphi), g(\gamma)]\eta'_{j-1}(\gamma)d\gamma = 0, \\ \pi\eta'_{j-1}(\beta) - \int_0^{2\pi} W[g(\beta), g(\gamma)]\eta'_{j-1}(\gamma)d\gamma - \int_0^{2\pi} W[g(\beta), h_{j-1}(\psi)]\mu'_{j-1}(\psi)d\psi - \\ - \int_0^{2\pi} W'_h[g(\beta), h_{j-1}(\psi)]\mu_{j-1}(\psi)d\psi = F(s^2)q[g(\beta), \beta]. \end{array} \right. \quad (9)$$

Выражения для функций  $W'_h$  из системы (9) приведены в Приложении.

Для вычисления  $h(\varphi)$  предлагается следующая итерационная про-

цедура: задавшись некоторым начальным приближением  $h_0(\varphi)$ , на шагах  $j = 1, 2, \dots$  из уравнения (7) при  $h = h_{j-1}$  вычисляем  $\mu_{j-1}$  и  $\eta_{j-1}$  по алгоритму, описанному в пункте 2, потом из уравнения (9) по тому же алгоритму вычисляем  $\mu'_{j-1}$  и  $\eta'_{j-1}$ , и, наконец, из уравнения (8) находим  $\omega_j(\varphi)$  и  $h_j(\varphi) = h_{j-1}(\varphi) + \omega_j(\varphi)$ .

#### 4. Результаты вычислительного эксперимента

Для проверки описанного в пункте 2 алгоритма решения прямой задачи была рассмотрена следующая модельная задача в кольце:

$$\begin{cases} \Delta v - s^2 v = 0, & 1 < r < 4, \alpha \in [0; 2\pi], s^2 > 0, \\ \frac{\partial v}{\partial r}(1, \alpha) = 0, & \frac{\partial v}{\partial r}(4, \alpha) = s^{-2} \pi e^{-\pi|\alpha - \pi|}, \alpha \in [0; 2\pi], s^2 > 0. \end{cases}$$

На Рис. 1 приведен график полученного численно из интегрального уравнения (4) и формулы (3) решения этой задачи при  $s = 0,5$ . Часть графика в области  $\alpha \in (\frac{3\pi}{4}; \frac{5\pi}{4})$ ,  $r \in (3,2; 4)$  не показана, чтобы масштаб по вертикальной оси не был слишком мал. Быстрый рост решения в указанной области обуславливается краевым условием при  $r = 4$ , приблизительно соответствующим сосредоточенному в точке  $(4; \pi)$  потоку.

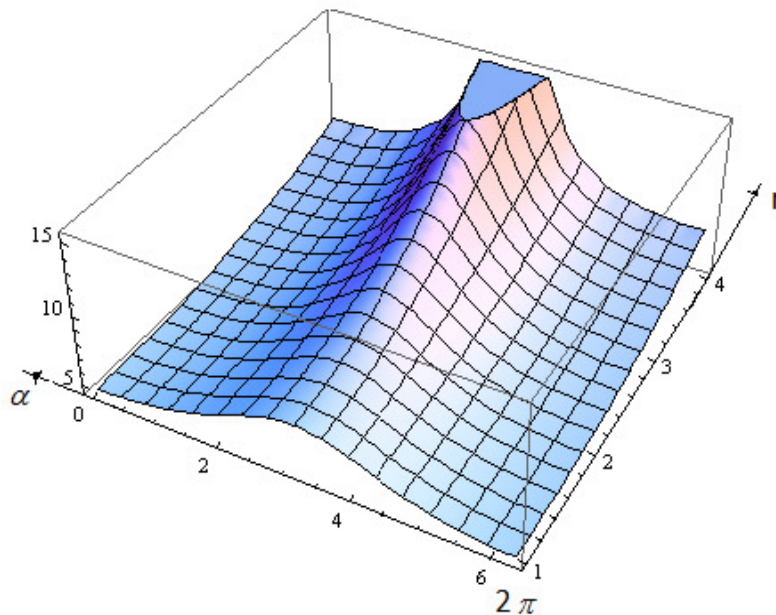


Рис. 1

Указанное численное решение с весьма высокой точностью совпало с полученным аналитически решением модельной задачи, которое имеет

следующий вид:

$$v(s, r, \alpha) = s^{-3} \frac{I_0(sr)K_1(s) + I_1(s)K_0(sr)}{I_1(4s)K_1(s) - I_1(s)K_1(4s)} \times \frac{1 - e^{-\pi^2}}{\pi} +$$

$$+ 4\pi s^{-3} \sum_{n=0}^{+\infty} \left\{ \cos(n\alpha) \frac{(-1)^n - e^{-\pi^2}}{n^2 + \pi^2} \times \right.$$

$$\left. \times \frac{I_n(sr)[K_{n-1}(s) + K_{n+1}(s)] + K_n(sr)[I_{n-1}(s) + I_{n+1}(s)]}{[I_{n-1}(4s) + I_{n+1}(4s)][K_{n-1}(s) + K_{n+1}(s)] - [K_{n-1}(4s) + K_{n+1}(4s)][I_{n-1}(s) + I_{n+1}(s)]} \right\},$$

где  $K_n$  и  $I_n$  – функции Макдональда и Инфеляда порядка  $n$ , соответственно.

На Рис. 2 приведен результат решения обратной задачи для случая, когда контур  $\Gamma_1$  задается функцией  $h(\varphi) = 2 + 0,1 \cos 5\varphi + 0,1 \sin 5\varphi$ , а контур  $\Gamma_2$  является окружностью радиуса 3.5 с центром в начале координат (изображены сплошной линией). Звездочками изображен восстановленный контур.

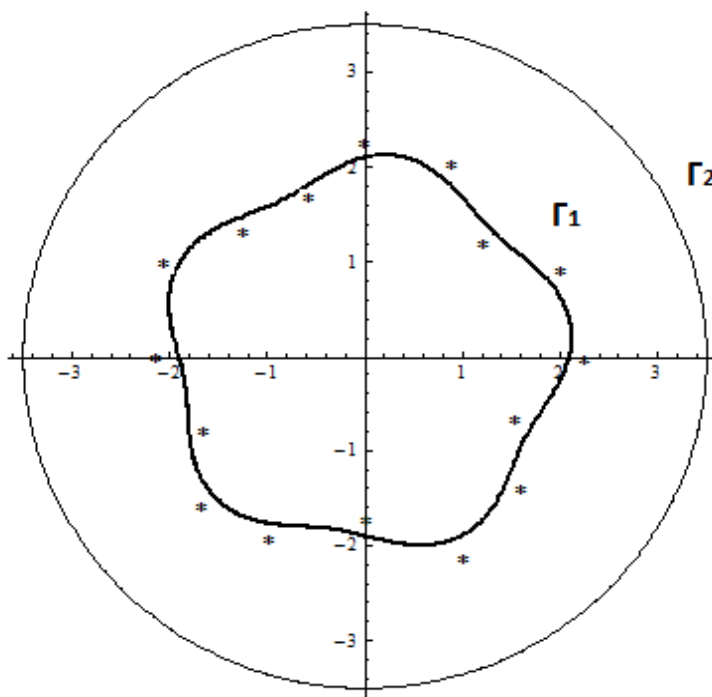


Рис. 2

Точки измерения решения прямой задачи  $M_l, l = \overline{1, 16}$  были расположены с шагом  $\frac{\pi}{8}$ , начиная с точки  $(3, 0)$ , на окружности радиуса 3 с

центром в начале координат,  $F(s) = s^{-2}$  (что соответствует  $f(t) = 1$ ),  $p_1 = s_1^2 = 0,4$ ,  $p_2 = s_2^2 = 0,5$ ,  $q(\beta) = \pi e^{-\pi|\beta-\pi|}$ . В качестве значений  $v(s, r, \alpha)$  в точках  $M_l$  были взяты результаты численного решения соответствующей прямой задачи. Начальным приближением  $h_0$  была выбрана окружность с центром в начале координат радиуса 2.

## 5. Приложение

Оператор  $B(\mu, h, \mu', \eta')$  в уравнении (8) имеет следующий вид:

$$\begin{aligned}
 B(\mu, h, \mu', \eta')[\omega] = & \int_0^{2\pi} \left[ K_0 \left( s \sqrt{r^2 + h^2(\varphi) - 2rh(\varphi)\cos(\alpha - \varphi)} \right) \times \right. \\
 & \times \left\{ h(\varphi)\mu'(\varphi) + \mu(\varphi) \right\} - K_1 \left( s \sqrt{r^2 + h^2(\varphi) - 2rh(\varphi)\cos(\alpha - \varphi)} \right) \times \\
 & \times s \frac{h(\varphi) - r\cos(\alpha - \varphi)}{\sqrt{r^2 + h^2(\varphi) - 2rh(\varphi)\cos(\alpha - \varphi)}} h(\varphi)\mu(\varphi) + \\
 & \left. + K_0 \left( s \sqrt{r^2 + g^2(\varphi) - 2rg(\varphi)\cos(\alpha - \varphi)} \right) \eta'(\varphi)g(\varphi) \right] \omega(\varphi) d\varphi.
 \end{aligned}$$

Функции  $W'_h$  в системе (9) имеют следующий вид:

$$\begin{aligned}
 W'_h[g(\beta), h(\psi)] = & -\frac{s^2}{2} \left[ K_0 \left( s \sqrt{g^2(\beta) + h^2(\psi) - 2g(\beta)h(\psi)\cos(\beta - \psi)} \right) + \right. \\
 & \left. + K_2 \left( s \sqrt{g^2(\beta) + h^2(\psi) - 2g(\beta)h(\psi)\cos(\beta - \psi)} \right) \right] \times \\
 & \times \frac{h(\psi) - g(\beta)\cos(\beta - \psi)}{g^2(\beta) + h^2(\psi) - 2g(\beta)h(\psi)\cos(\beta - \psi)} h(\psi)(g(\beta) - h(\psi)\cos(\beta - \psi)) + \\
 & + s \frac{K_1 \left( s \sqrt{g^2(\beta) + h^2(\psi) - 2g(\beta)h(\psi)\cos(\beta - \psi)} \right)}{\left( \sqrt{g^2(\beta) + h^2(\psi) - 2g(\beta)h(\psi)\cos(\beta - \psi)} \right)^3} \times \\
 & \times \left[ g^3(\beta) - 3h(\psi)g^2(\beta)\cos(\beta - \psi) + 3h^2(\psi)g(\beta)\cos^2(\beta - \psi) - h^3(\psi)\cos^2(\beta - \psi) \right]
 \end{aligned}$$

$$\begin{aligned}
W_h'[h(\varphi), g(\gamma)] = & -\frac{s^2}{2} \left[ K_0 \left( s \sqrt{g^2(\gamma) + h^2(\varphi) - 2g(\gamma)h(\varphi)\cos(\varphi - \gamma)} \right) + \right. \\
& + K_2 \left( s \sqrt{g^2(\gamma) + h^2(\varphi) - 2g(\gamma)h(\varphi)\cos(\varphi - \gamma)} \right) \Big] \times \\
& \times \frac{g(\gamma)(h(\varphi) - g(\beta)\cos(\varphi - \gamma))^2}{g^2(\gamma) + h^2(\varphi) - 2g(\gamma)h(\varphi)\cos(\varphi - \gamma)} + \\
& + s \frac{K_1 \left( s \sqrt{g^2(\gamma) + h^2(\varphi) - 2g(\gamma)h(\varphi)\cos(\varphi - \gamma)} \right)}{\left( \sqrt{g^2(\gamma) + h^2(\varphi) - 2g(\gamma)h(\varphi)\cos(\varphi - \gamma)} \right)^3} g^3(\varphi) \sin^2(\varphi - \gamma), \\
W_h'[h(\varphi), h(\psi)] = & -\frac{s^2}{2} \left[ K_0 \left( s \sqrt{h^2(\varphi) + h^2(\psi) - 2h(\varphi)h(\psi)\cos(\varphi - \psi)} \right) + \right. \\
& + K_2 \left( s \sqrt{h^2(\varphi) + h^2(\psi) - 2h(\varphi)h(\psi)\cos(\varphi - \psi)} \right) \Big] \times \\
& \times \frac{(h(\psi) + h(\varphi) - (h(\psi) + h(\varphi))\cos(\psi - \varphi))}{h^2(\varphi) + h^2(\psi) - 2h(\varphi)h(\psi)\cos(\varphi - \psi)} h(\psi)(h(\varphi) - h(\psi)\cos(\psi - \varphi)) + \\
& + s \frac{K_1 \left( s \sqrt{h^2(\varphi) + h^2(\psi) - 2h(\varphi)h(\psi)\cos(\varphi - \psi)} \right)}{\left( \sqrt{h^2(\varphi) + h^2(\psi) - 2h(\varphi)h(\psi)\cos(\varphi - \psi)} \right)^3} \left[ h^3(\psi)(1 - \cos(\psi - \varphi)) + \right. \\
& \left. + h^3(\varphi) - 3h(\psi)h^2(\varphi)\cos(\psi - \varphi) + (3h^2(\psi)h(\varphi) - h^3(\psi))\cos^2(\psi - \varphi) \right]
\end{aligned}$$

## Литература

1. Головина С.Г., Денисов А.М., Дмитриев В.И. Об обратной задаче определения зон малой проницаемости в нефтяном пласте // Прикладная математика и информатика. № 21. М.: МАКС Пресс, 2005. С. 5-14.
2. Головина С.Г. Метод линеаризации в обратной задаче определения зон малой проницаемости в нефтяном пласте // Вестн. Моск. Ун-та. Сер. 15. Вычисл. Матем. и Киберн. 2008, № 1, С. 5-9.
3. Головина С.Г., Разборов А.Г. Об определении границы двумерной области по решению внешней начально-краевой задачи для уравнения теплопроводности // Прикладная математика и информатика. № 33. М.: МАКС Пресс, 2009. С. 69-74.